

Nonlocal Analysis of Chaotic Vibration, Primary and Super-Harmonic Resonance of Single Walled Carbon Nanotube Considering Thermal Effects

H. Ramezannejad Azarboni^{1*}, H. Keshavarzpour², M. Rahimzadeh³

¹ Department of Mechanical Engineering, Ramsar branch, Islamic Azad University, Ramsar, Iran.

² Department of Mechanical Engineering, Rasht Branch, Islamic Azad University, Rasht, Iran.

³ Department of Mechanical Engineering, Faculty of Technology and Engineering of Golestan University, Gorgan, Iran.

ABSTRACT: In this article, a nonlinear elastic Bernoulli–Euler beam model is presented to investigate the chaotic behavior and primary and superharmonic resonance of single walled carbon nanotubes embedded in a visco-elastic medium at an elevated temperature. Using the Galerkin method and fourth-order Runge-Kutta method the governing equation is solved. The bifurcation diagram and largest Lyapunov exponent are employed to detect the critical amplitude of external force of periodic and chaotic response of single walled carbon. Having known the critical values, phase portrait and Poincare maps are presented to observe the periodic and chaotic behavior of the system. Moreover, the amplitude–frequency response for the primary superharmonic resonance of system is derived with the multiple scale method to investigate the feasibility of jump phenomenon. The sensitivity of jump phenomenon are studied for the selected viscoelastic foundation parameters, detuning parameter and external amplitude load. The results show that the amplitude of external force, viscoelastic foundation parameters, detuning parameter and temperature change in the cases of high and low temperature have a significant effect on the frequency response with jump phenomenon of system. In addition, the chaotic vibration of carbon nanotube can be controlled by changing of amplitude of external force.

Review History:

Received: 12 Jun. 2018

Revised: 27 Apr. 2018

Accepted: 24 Jun. 2018

Available Online: 1 Jul. 2018

Keywords:

Carbon nanotube

Chaos, Bifurcation diagram

Jump phenomena

Superharmonic resonance

1- Introduction

Carbon nanotubes exhibit remarkable electronic, mechanical, physical and chemical properties such as exceptionally high strength-to-weight and stiffness-to-weight ratios as well as superior electrical and thermal conductivities over any other existing material known. Since many nonlinear dynamic phenomena e.g. spring hardening, jump, bifurcation and chaotic motions, which essentially modify sensitivity and performance of Carbon NanoTubes (CNTs), have been discovered experimentally, a comprehensive understanding of all characteristics of nonlinear mechanical response of carbon nanotubes at resonance frequencies under different boundary and environmental conditions is of high importance. Therefore, many research efforts have been focused on these intrinsic nonlinear behaviors of nano-structures. From the research status of vibrational behavior of CNTs, one can be found many researches were focused to investigate the effects axial thermal force, magnetic field, fluid velocity effect, amplitude of excitation, viscoelastic foundation parameters and nonlocal coefficient analysis on the linear and nonlinear dynamic behavior of CNTs have also been investigated [1-5]. Since many nonlinear dynamic phenomena such as chaotic vibrations and jumping at frequency responses of CNTs were analytically and numerically studied.

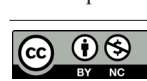
The main objective of this work is to examine the nonlinear nonlocal primary and superharmonic resonance and chaotic

vibration of a single walled CNTs subjected to transverse harmonic forces surrounding to viscoelastic foundation. Using the Galerkin methods and multiple time scales perturbation technique, the nonlinear frequency response of a Single Walled Carbon NanoTube (SWCNT) in the case of primary and superharmonic resonances cases subjected to transverse harmonic force are analytically studied. The influences of amplitude of excitation, viscoelastic foundation, detuning parameter, temperature change and small scale on the instability condition and occurrence of jumping phenomenon at primary and superharmonic resonances response of a SWCNT are investigated. In addition, the chaotic domains of excitation amplitude according to bifurcation diagram and largest Lyapunov exponent are detected by applying the fourth-order Runge-Kutta method. The periodic and chaotic vibration of a SWCNT are demonstrated in phase plane and Poincare map corresponding to the selected external amplitude values.

2- Methodology

Fig. 1 shows a multi-walled CNT of length L , Young's modulus E , density ρ , cross-sectional area A , and crosssectional moment of inertia I , resting on a linear viscoelastic medium.

Based on the nonlocal elasticity theory in conjunction with the von Kármán geometric nonlinearity and by considering the thermal effect, the dynamic governing equation of single



Copyrights for this article are retained by the author(s) with publishing rights granted to Amirkabir University Press. The content of this article is subject to the terms and conditions of the Creative Commons Attribution 4.0 International (CC-BY-NC 4.0) License. For more information, please visit <https://www.creativecommons.org/licenses/by-nc/4.0/legalcode>.

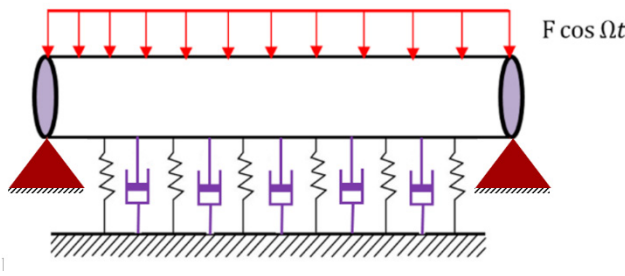


Fig. 1. Schematic of carbon nanotube under viscoelastic foundation

walled CNT subjected to transversal harmonic external force can be expressed as [7]:

$$\begin{aligned} \rho A \left(1 - (e_0 a)^2 \nabla^2\right) \frac{\partial^2 w}{\partial t^2} + \left(1 - (e_0 a)^2 \nabla^2\right) C \frac{\partial w}{\partial t} + EI \frac{\partial^4 w}{\partial x^4} \\ = \left(1 - (e_0 a)^2 \nabla^2\right) \left[\frac{EA}{2L} \int_0^L \left(\frac{\partial w}{\partial x} \right)^2 dx \right] \frac{\partial^2 w}{\partial x^2} \\ + \left(1 - (e_0 a)^2 \nabla^2\right) N_t \frac{\partial^2 w}{\partial x^2} + p(x, t) + F(t) \end{aligned} \quad (1)$$

In Eq. (1), the applied pressure to the outermost layer which is in direct contact with the surrounding viscoelastic medium based on the Winkler foundation model can be described by

$$p(x, t) = -K_E \left(1 - (e_0 a)^2 \nabla^2\right) w \quad (2)$$

In addition, the thermally induced force N_t is given by

$$N_t = -\frac{EA}{1-2\nu} \alpha_x \Delta T \theta_x \quad (3)$$

For a CNT with simply supported boundary conditions at both ends, $w(x, t) = \sum_{k=1}^K W_k(t) \sin \frac{k\pi x}{L}$ are defined. Applying Eq. (1) to single walled CNT yields a set of the nonlinear equations. For the SWCNTs having simply supported condition at the two ends, the nonlinear vibration equations of an embedded SWCNTs can be written in term of the function $W_k(t)$ as:

$$\begin{aligned} \ddot{W}_k + \frac{C}{\rho A} \dot{W}_k + \left(\frac{k^4 \pi^4 EI}{\eta AL^4} + \frac{K_E}{\rho A} + \frac{k^2 \pi^2 N_t}{\eta AL^2} \right) W_k \\ + \frac{k^4 \pi^4 E}{4\eta L^4} W_k^3 = \frac{F(t)}{\eta A} \end{aligned} \quad (4)$$

where

$$\eta = \rho \left(1 + \left(e_0 a \frac{k\pi}{L} \right)^2 \right) \quad (5)$$

The non-dimensional form of Eq. (4) can be presented as:

$$\frac{d^2 u_k}{dt^2} + \mu \frac{du_k}{dt} + u_k + \alpha u_k^3 = \Lambda_k \cos \Omega \tau \quad (6)$$

The analytical closed form of frequency response of SWCNT can be derived by applying the multiple time scale method in the cases of primary and super-harmonic resonances as following respectively:

$$\left[\mu^2 + \left(\sigma - \frac{3}{8} \Lambda a^2 \right)^2 \right] a^2 = \frac{1}{4} \Lambda^2 \quad (7)$$

$$\left[\frac{1}{4} \mu^2 + \left(\sigma - 3\alpha \Lambda^2 - \frac{3\alpha}{8} a^2 \right)^2 \right] a^2 = \alpha^2 \Lambda^6 \quad (8)$$

3-Discussion and Results

The material and geometric parameters of the CNT are taken to be, the Young's modulus $E = 1.1 \text{ TPa}$, the mass density $\rho = 1300 \text{ kg/m}^3$, the Poisson's ratio $\nu = 0.3$, the length $L = 45 \text{ nm}$, the outermost diameter $d_0 = 3 \text{ nm}$, the inner outermost diameter $d_i = 2.32 \text{ nm}$, the coefficient of thermal expansion in the cases of low temperature $\alpha_x = -1.6 \times 10^{-6} \text{ K}^{-1}$, the coefficient of thermal expansion in the cases of high temperature, $\alpha_x = 1.1 \times 10^{-6} \text{ K}^{-1}$, change of temperature $\Delta T = 100 \text{ K}$, the Winkler foundation modulus $K_E = 10^7 \text{ N/m}^2$, the damping coefficient $C = 3 \times 10^{-15} \text{ Ns/m}^2$ and the scale coefficient $e_0 a = 1 \text{ nm}$. Fig. 2 shows the effect of non-dimensional amplitude of external force on the frequency response amplitude of single walled carbon nanotube for different values of Λ at primary resonance. It can be observed that increasing values of Λ intensifies the jump phenomena and makes the unstable region wider.

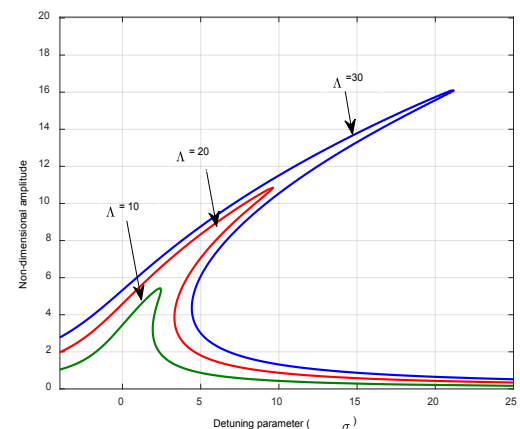


Fig. 2. Primary frequency response of CNT

A bifurcation diagram of excitation amplitude Λ for SWCNT is shown in Fig. 3. For regular response there is a one-by-one correspondence between excitation amplitude and nanotube displacement amplitude and in the chaotic response, any particular points on horizontal axis are mapped to multiple points of displacement amplitude.

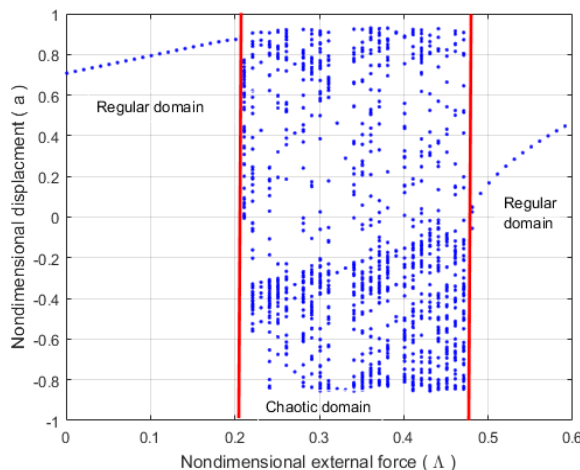


Fig. 3. Bifurcation diagram

4- Conclusions

In this paper, the nonlinear primary and superharmonic resonances and chaotic vibration of a single walled carbon nanotube embedded in viscoelastic foundation was investigated. The Galerkin method and multiple time scales perturbation method were implemented to drive the frequency response. The effects of amplitude of excitation, temperature change, high and low temperature conditions on the frequency resonance were investigated. Moreover, by employing the bifurcation diagrams and the largest Lyapunov exponent, the effects of amplitude of external force was investigated to predict the chaotic and periodic parameters.

The results show that these parameters have a significant effects on the dynamic behavior of SWCNT.

References

- [1] Y. D. Kuang, X. Q. He, C. Y. Chen, and G. Q. Li, "Analysis of nonlinear vibrations of double-walled carbon nanotubes conveying fluid," *Comput. Mater. Sci.*, vol. 45, no. 4, pp. 875–880, 2009.
- [2] Y. Z. Wang and F. M. Li, "Nonlinear primary resonance of nano beam with axial initial load by nonlocal continuum theory," *Int. J. Non. Linear. Mech.*, vol. 61, pp. 74–79, 2014.
- [3] S. Souayeh and N. Kacem, "Computational models for large amplitude nonlinear vibrations of electrostatically actuated carbon nanotube-based mass sensors," *Sensors Actuators, A Phys.*, vol. 208, pp. 10–20, 2014.
- [4] Z. Saadatnia, A. Barari, and E. Esmailzadeh, "Nonlinear forced vibration analysis of free-form nanotube conveying fluid," in 14th IEEE International Conference on Nanotechnology, 2014, no. August, pp. 689–692.
- [5] Z. Saadatnia, E. Esmailzadeh, and D. Younesian, "Nonlinear forced vibration analysis of fluid conveying nanotubes under electromagnetic actuation," in Volume 4: 19th Design for Manufacturing and the Life Cycle Conference; 8th International Conference on Micro- and Nanosystems, 2014, vol. 4, p. V004T09A001.



تحلیل غیرموضعی ارتعاشات آشوبناک، رزونانس اولیه و سوپرهارمونیک نanolوله‌های کربنی تک‌لایه با در نظر گرفتن اثرات حرارتی

حبيب رمضان نژاد آزاربئی^{۱*}، حماد کشاورزپور^۲، محمد رحیم‌زاده^۳

^۱ گروه مهندسی مکانیک، واحد رامسر، دانشگاه آزاد اسلامی، رامسر، ایران.

^۲ گروه مهندسی مکانیک، واحد رشت، دانشگاه آزاد اسلامی، رشت، ایران.

^۳ گروه مهندسی مکانیک، دانشکده فنی و مهندسی گرگان، دانشگاه گلستان، گرگان، ایران.

تاریخچه داوری:

دریافت: ۱۳۹۶/۰۱/۲۲

بازنگری: ۱۳۹۷/۰۲/۰۷

پذیرش: ۱۳۹۷/۰۴/۰۳

ارائه آنلاین: ۱۳۹۷/۰۴/۱۰

كلمات کلیدی:

نانولوله کربنی

آشوب

دیاگرام‌های دوشاخه‌ای

پدیده پرش

رزونانس سوپرهارمونیک

خلاصه: در این مقاله با ارائه یک مدل غیرخطی از رفتار دینامیکی نanolوله‌های کربنی تک لایه با فرض دامنه ارتعاشی زیاد روی بستر ویسکوالاستیک تحت اعمال بار خارجی هارمونیک در یک محیط حرارتی به تحلیل رفتار آشوبناک و همچنین تحلیل رزونانس اولیه و سوپرهارمونیک آن‌ها برداخته شده است. با استفاده از روش گالرکین با تابع شکل مثلاً و رانگ کوتای مرتبه چهار معادلات حاکم حل شده است. با به کارگیری دیاگرام‌های دوشاخه‌ای و بزرگ‌ترین نمای لیپاونوف پارامترهای آشوب از پارامترهای پریودیک شناسایی شده و رفتار پریودیک و آشوب نanolوله‌های کربنی توسط نمودارهای فازی و نگاشت پوانکاره نشان داده شده است. در ادامه با استفاده از روش مقیاس چندگانه به تحلیل رفتار رزونانس اولیه و سوپرهارمونیک نanolوله‌های کربنی به منظور امکان سنجی بروز پدیده پرش پرداخته شده است. حساسیت رفتار دینامیکی نسبت به پارامترهای مختلف شامل ضرایب بسترهای ویسکوالاستیک، پارامتر کنترلی فرکانس و دامنه نیروی خارجی در موقع پدیده پرش در نanolوله‌های کربنی تک لایه بررسی شد. نتایج نشان می‌دهد که دامنه نیروی خارجی، ضرایب بسترهای ویسکوالاستیک، پارامتر کنترلی فرکانس و تعییرات دما در دو حالت دما بالا و دما پایین دارای اثری قابل توجه بر پاسخ فرکانسی با حضور پدیده پرش دارند. همچنین دامنه تحریک می‌تواند یک عامل کنترل‌کننده بر بروز پدیده آشوب باشد.

۱- مقدمه

مدل‌سازی سیستم‌های گسسته و پیوسته و تولید دانش فنی حل معادلات

غیرخطی توسط دانشمندان پدیده‌هایی مشاهده شد که در مدل‌سازی خطی قابل مشاهده نبود. از جمله این پدیده‌ها وقوع رفتار دینامیکی آشوبناک است که در ارتعاشات اجباری سیستم‌های غیرخطی در حوزه مکانیک رخ می‌دهد. محققین زیادی به بررسی ارتعاشات غیرخطی اجباری سیستم‌های مکانیکی به منظور امکان سنجی وقوع پدیده‌های غیرخطی مانند آشوب، رزونانس اولیه و سوپرهارمونیک، وابستگی فرکانس غیرخطی به دامنه، پدیده پرش و ... پرداخته‌اند.

از اولین تحقیقات در این زمینه می‌توان به بررسی اثرات عواملی مانند هندسه و نیروی بین لایه‌ای و ان دروالس^۱ غیرخطی بر ارتعاشات هم محور و ناهم محور نanolوله‌های کربنی دوجداره حامل سیال اشاره نمود که توسط کوانگ و همکارانش [۱] انجام شده است. آن‌ها نشان دادند که در نظر گرفتن جابه‌جایی‌های عرضی و محوری کوپل شده به شکل قابل توجهی منجر به وقوع دامنه‌های ارتعاشی بزرگ‌تری نسبت به حالت کوپل نشده در نanolوله

nanolوله‌های کربنی به واسطه دارا بودن خواص مکانیکی، شیمیایی، گرمایی و الکتریکی بسیار منحصر به فرد مانند مقاومت بالا در برابر چگالی پایین، نفوذپذیری زیاد، پایداری مکانیکی و حرارتی بالا، دوام زیاد در برابر گرما، قابلیت تمیز کردن و استفاده مجدد در فرایند تصفیه آب، هدایت الکتریکی بالا و ... کاربرد بسیار وسیعی در صنایع مختلف دارند. نanolوله‌های کربنی کاربردهای متنوعی مانند به کارگیری آن‌ها در ذخیره کننده و پیل سوختی، نانو کاتالیست برای جذب و ذخیره‌سازی گاز طبیعی و هیدروژن و ... دارند. با توجه به استفاده از نanolوله‌های کربنی به عنوان یک سیستم الکترومکانیکی در ساخت سنسورهای سرعت بالا و اجزای اصلی سیستم‌های پردازش سیگنال به صورت تک جداره یا چند جداره، تحلیل ارتعاشات و پایداری نanolوله‌های کربنی با دو رویکرد مدل‌سازی خطی و غیرخطی مورد توجه تحقیقات دانشمندان در این زمینه بوده است. با رویکرد غیرخطی در

1 van der Waals (vdW)

* نویسنده عهده‌دار مکاتبات: h.ramezannejad@iauramsar.ac.ir

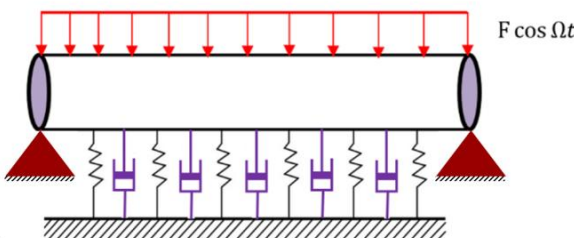
(Creative Commons License) حقوق مؤلفین به نویسنده‌گان و حقوق ناشر به انتشارات دانشگاه امیرکبیر داده شده است. این مقاله تحت لیسانس آفرینندگی مردمی (Creative Commons License) در دسترس شما قرار گرفته است. برای جزئیات این لیسانس، از آدرس <https://www.creativecommons.org/licenses/by-nc/4.0/legalcode> دیدن فرمائید.



استفاده قرار گرفته است. ایشان همچنین از دیاگرام دوشاخه‌ای، مسیرهای صفحه-فاز و نمودارهای مقاطع پوانکاره جهت شناسایی و پیش‌بینی محدوده‌های آشوبناک ارتعاشات نanolوله کربنی بهره برده‌اند. ارتعاشات خطی و غیرخطی nanolوله‌های کربنی تک‌جداره حامل سیال به همراه اثرات گرمایی توسط عسکری و اسماعیل‌زاده [۷] مورد مطالعه قرار گرفته است. nanolوله با شرایط مرزی عمومی و مستقر بر بستر وینکلر-پسترناك توسط تغوری کلاسیک تیر اویلر-برنولی با در نظر گرفتن اثرات سطح مدل‌سازی شده و آنالیز حساسیت پارامترهای مختلف مؤثر بر فرکانس طبیعی خطی و رزونانس اولیه ارتعاشات غیرخطی nanolوله‌های کربنی زیگزاگ صورت گرفته است. ژو و یونس [۸] پاسخ فرکانسی غیرخطی یک nanolوله کربنی تک‌جداره تحت اثر نیروهای بزرگ الکترواستاتیک را مطالعه کرده‌اند. در مدل تیر اویلر-برنولی آن‌ها، عوامل غیرخطی ناشی از هندسه و نیروی الکترواستاتیک بوده است. آن‌ها رفتارهای فنر نرم‌شونده و سخت‌شونده متفاوتی را در رزونانس‌های اول و دوم سیستم مشاهده کردند. یک nanolوله کربنی شبه-سرنگ و حامل سیال توسط هو و دنگ [۹] مورد مطالعه قرار گرفت. آن‌ها محدوده‌های آشوبناک nanolوله تک‌جداره بر اثر سرعت سیال را با استفاده از یک مدل سمپلکتیک چندگانه به دست آوردند. ایشان دریافتند که هر قدر طول nanolوله بیشتر باشد محدوده پایداری بزرگتری خواهد داشت. به علاوه، تحلیل‌های عددی آن‌ها نشان داد که تعداد بیشتر نیروهای عرضی تأثیر مثبتی بر کاهش محدوده وقوع آشوب و درنتیجه دقت نانوسرنگ دارد. هو و همکارانش [۱۰] با اضافه کردن فترهای الاستیک خطی و پیچشی در دو انتهای یک nanolوله کربنی تک‌جداره و تحت بارگذاری بزرگتری خواهد داشت. به علاوه، تحلیل‌های عددی آن‌ها استفاده از مدل سمپلکتیک چندگانه را تحلیل کردند. مقادیر بحرانی دامنه و فرکانس نیروی تحریک محاسبه شده و میزان اثر پارامترهای سفتی خمسی نسبی و مطلق nanolوله بر پدیده‌های غیرخطی مورد بررسی قرار گرفته است. همچنین، ایشان دو مسیر متفاوت انتقال آشوب برای nanolوله‌های با تکیه‌گاه ساده و تکیه‌گاه گیردار مشاهده کردند. ارتعاشات اجرایی یک nanolوله کربنی حامل سیال و مستقر در بستر وینکلر-پسترناك را در محدوده‌های خطی و غیرخطی مطالعه کرده‌اند. اثر سطح، ویسکوزیته سیال و اثرات دمایی بر مشخصات ماده در استخراج معادلات غیرموضعی اویلر-برنولی در نظر گرفته شده است. تحلیل حساسیت پارامتریک به جهت آنالیز اثرات کمیت‌های مختلف از قبیل تغییرات دما، شرایط مرزی، ضرایب بستر و سرعت سیال بر فرکانس طبیعی و رزونانس اولیه nanolوله‌های زیگزاگ مختلفی انجام شده است. صادقی گوهری و همکارانش [۱۱] اثر جریان سیال مغناطیسی بر

می‌شود. به علاوه، تعامل بین اثر غیرخطی هندسی و نیروی وان‌دروالس غیرخطی در ارتعاشات هم محور و ناهم محور nanolوله‌های دوجداره کشف شد، اگرچه، بررسی‌های آن‌ها نشان داد که عامل نیروی بین‌لایه‌ای غیرخطی [۲] بر مبنای مدل غیرموضعی، رزونانس غیرخطی اولیه یک تیر اویلر-برنولی تحت بارگذاری محوری را مورد بررسی قرار دادند. آن‌ها با استفاده از روش مقیاس‌های چندگانه پاسخ دامنه فرکانسی را برای رزونانس اول تیر استخراج کرده و پایداری آن تحت تأثیر عواملی همچون اثرات مقیاس کوچک، بارگذاری محوری اولیه، عدد مود، ثابت بستر وینکلر و نسبت قطر به طول تیر را مورد تحلیل و بررسی قرار دادند. سوآیه و کاسم [۳] با در نظر گرفتن عوامل غیرخطی هندسی و الکترواستاتیک یک مدل اویلر-برنولی چندفیزیکی از یک سنسور جرمی ساخته شده از nanolوله کربنی را در فرکانس تشید اولیه توسعه دادند. ایشان در مدل خود با در نظر گرفتن هندسه و نیروی الکترواستاتیک غیرخطی از روش گالرکین و توازن هارمونیک جهت حل معادلات ریاضی مسئله بهره برده‌اند. سپس انتقال فرکانسی در پاسخ دینامیکی nanolوله به دلیل جرم و مکان قرارگیری یک ذره اضافی روی آن را مورد مطالعه قرار داده و دریافتند که حداقل به سه مود ارتعاشی جهت تعیین صحیح جرم و مکان این ذره نیاز است. سعادت‌نیا و همکاران [۴] ارتعاشات اجرایی یک nanolوله تک‌جداره با شکل دلخواه و حامل سیال را مطالعه کردند. ایشان از معادلات موسوم به نریز^۱ جهت تعریف انحنای دلخواه nanolوله با تکیه‌گاه ساده بهره برده و از طریق روش مقیاس‌های چندگانه پاسخ فرکانسی آن را به دست آوردند. همچنین تأثیرات پارامترهای مختلفی همچون سرعت سیال و میزان تغییرات انحنای nanolوله در پاسخ فرکانسی سیستم نریز بررسی شده است. ارتعاشات غیرخطی یک nanolوله گیردار حامل سیال و تحت تأثیر نیروی میدان الکترومغناطیس را سعادت‌نیا و همکارانش [۵] مورد تحلیل و بررسی قرار دادند. روش گالرکین به همراه مقیاس‌های چندگانه شیوه‌های مورد استفاده ایشان جهت مدل‌سازی و حل مسئله دینامیک غیرخطی nanolوله تک‌جداره گیردار بوده است. مشخص شد که نیروهای میدان الکترومغناطیس تمایل زیادی به افزایش مشخصات غیرخطی سیستم و پاسخ دینامیکی آن دارند. ارتعاشات غیرخطی و حرکات آشوبناک یک nanolوله کربنی تحت اثر نیروهای محوری و واقع شده بر بستر الاستیک وینکلر-پسترناك را عسکری و اسماعیل‌زاده [۶] بررسی کرده‌اند. nanolوله با تکیه‌گاه ساده از طریق تغوری تیر اویلر-برنولی مدل‌سازی شده و روش گالرکین در حل معادلات حاکم مورد

^۱ Non-uniform rational basis spline (NURBS)



شکل ۱: نانولوله کربنی تک لایه تحت تحریک هارمونیک خارجی

Fig. 1. Schematic of carbon nanotube under viscoelastic foundation

آشوب و منظم در نمودارهای فضای فازی و نگاشت پوانکاره نمایش داده شده است. در ادامه بهمنظور تحلیل امکان‌سنجی پدیده پرش با در نظر گرفتن حالت تشدید اولیه و سوپرهازمونیک به حل معادلات دیفرانسیل معمولی با استفاده از روش مقیاس چندگانه پرداخته شد. با استخراج روابط تحلیلی به بررسی میزان حساسیت وقوع پدیده پرش نسبت به پارامترهای مانند دامنه تحریک، ضرایب ویسکوالاستیک و پارامتر تنظیم‌کننده فرکانس و چگونگی رشد و زوال آن پرداخته شد. نتایج حاصل از این تحقیق نشان می‌دهد که معیار بزرگ‌ترین نمای لیپانوف در تشخیص پارامترهای آشوب از پارامترهای منظم از معیار نمودار دوشاخه‌ای دقیق‌تر است. همچنین با توجه به حساسیت زیاد سیستم‌های غیرخطی نسبت به تغییر پارامترهای هندسی و مکانیکی در بروز پدیده‌های غیرخطی آشوب و پرش می‌توان با تحلیل دقیق و انتخاب مناسب از این پارامترها وقوع این پدیده‌های نامطلوب را تا حد زیادی کنترل و تعدیل نمود.

۲- استخراج معادلات حاکم

شکل ۱ نمایی از یک نانولوله کربنی تک لایه تحت تحریک خارجی هارمونیک به طول L ، مدول یانگ E ، چگالی ρ و سطح مقطع A را روی بستر ویسکوالاستیک نشان می‌دهد. با در نظر گرفتن اثر دما، بر اساس مدل غیرخطی و غیرموضعی تیر اویلر-برنولی معادله دیفرانسیل حاکم بر حرکت نانولوله کربنی تک لایه را می‌توان به فرم زیر بیان نمود [۷].

$$\begin{aligned} & \rho A \left(1 - (e_0 a)^2 \nabla^2 \right) \frac{\partial^2 w}{\partial t^2} + \left(1 - (e_0 a)^2 \nabla^2 \right) C \frac{\partial w}{\partial t} + EI \frac{\partial^4 w}{\partial x^4} \\ & = \left(1 - (e_0 a)^2 \nabla^2 \right) \left[\frac{EA}{2L} \int_0^L \left(\frac{\partial w}{\partial x} \right)^2 dx + N, \right] \frac{\partial^2 w}{\partial x^2} \\ & + p(x, t) + F(t) \end{aligned} \quad (1)$$

نایابی‌داری یک نانولوله کربنی حامل سیال در یک میدان مغناطیسی محوری را مورد بررسی قرار داده‌اند. در مدل سازه-سیال آن‌ها، معادلات جریان ناویر-استوکس و تیر اویلر-برنولی با یکدیگر کوپل شده و اثرات اندازه هم در سازه و هم در سیال مغناطیسی به ترتیب از طریق پارامتر غیرموضعی و عدد نادسن منظور شده است. نتایج به دست آمده آن‌ها نشان داد که نیروهای میدان مغناطیسی سرعت بحرانی جریان و سفتی خمشی نانولوله را افزایش داده و منجر به پایداری بیشتر می‌شوند. همچنین اثرات اندازه کوچک در سازه و سیال را بررسی شده و کاهش سرعت بحرانی سیال و سفتی خمشی سازه تحت اثر اندازه مشاهده گردیده است. ارتعاشات غیرخطی اجباری و گرمایی زنجیره کربنی در نانولوله‌های کربنی به‌وسیله دو مدل تیر اویلر و دینامیک مولکولی^۱ توسط لیو و همکارانش [۱۲] مورد مطالعه قرار گرفته است. همخوانی مناسبی بین نتایج حاصل از دو مدل به دست آمده و رفتار غیرخطی از نوع سخت‌شونده در پاسخ فرکانسی زنجیره کربنی نانولوله مشاهده شده است. اخیراً، روش تابع گرین به دلیل دقت بالا و مناسب بودن در محاسبات عددی به‌وسیله حسینی و همکاران [۱۳] در تحلیل ارتعاشات اجباری نانولوله کربنی حامل سیال در محیط گرمایی و مستقر بر روی یک بستر ویسکوالاستیک مورد استفاده قرار گرفته است. در مدل توسعه داده شده ایشان از تئوری الاستیسیته غیرموضعی به همراه عدد نادسن چهت در نظر گرفتن اثرات اندازه بهره گرفته شده و مزیت‌های روش تابع گرین در حل معادلات حاکم سیستم نشان داده شده است. همچنین، اثرات پارامترهای مختلف مانند شرایط مرزی، تغییرات دما، عدد نادسن، سرعت سیال و غیره بر پاسخ دینامیکی نانولوله کربنی تک‌لایه بررسی شده است.

در این مقاله با ارائه مدل دینامیکی غیرخطی و غیرموضعی از رفتار نانولوله‌های کربنی بر اساس تیر اویلر-برنولی تک لایه روی بستر ویسکوالاستیک تحت اعمال بارگذاری عرضی خارجی هارمونیک، به تحلیل رفتارهای غیرخطی شامل ارتعاشات آشوبناک و پدیده پرش پرداخته شده است. در این تحلیل اثرات غیرموضعی، محیط حرارتی، بستر ویسکوالاستیک در نظر گرفته شده است. ابتدا با استفاده از روش گالرکین به همراه توابع شکل متناظر با تکیه‌گاه ساده معادلات جزئی حاکم بر رفتار دینامیکی نانولوله‌های کربنی به معادلات دیفرانسیل معمولی تابع زمان کاهش داده شد. سپس با استفاده از روش رانگ کوتا معادلات دیفرانسیل معمولی حل شد. برای استخراج پارامترهای آشوب و رفتار منظم از دو روش نمودارهای دوشاخه‌ای و بزرگ‌ترین نمای لیپانوف استفاده شده است. رفتار سیستم در پارامترهای

$$\omega_k = \sqrt{\frac{K_E}{\rho A}} \quad (8)$$

$$\omega_N = \sqrt{\frac{k^2 \pi^2 N_t}{\eta A L^2}} \quad (9)$$

$$\omega_\alpha = \sqrt{\frac{k^4 \pi^4 E}{4 \eta L^4}} \quad (10)$$

$$\omega_C^2 = \frac{C}{\rho A} \quad (11)$$

$$\Gamma = \frac{F}{\eta A} \quad (12)$$

در رابطه (۶) و ω به ترتیب دامنه و فرکانس تحریک است. به منظور تحلیل بهتر معادله غیرخطی حاکم بر حرکت نanolوله کربنی تک لایه می‌توان با تعریف پارامترهای زیر معادله غیرخطی بی‌بعد را استخراج نمود.

$$\Omega = \frac{\omega}{\omega_0}, \omega_0 = \sqrt{(\omega_L^2 + \omega_k^2 + \omega_N^2)},$$

$$\mu = \frac{\omega_C^2}{\omega_0}, \alpha = \frac{\omega_\alpha^2 r^2}{\omega_0^2}, A = \frac{\Gamma}{r \omega_0^2},$$

$$r = \sqrt{\frac{I}{A}}, \tau = \omega_0 t, W = ru$$

با اعمال این پارامترها می‌توان معادله بی‌بعد حاکم بر رفتار غیرخطی nanololle کربنی تک لایه را به فرم زیر استخراج نمود.

$$\frac{d^2 u_k}{d \tau^2} + \mu \frac{du_k}{d \tau} + u_k + \alpha u_k^3 = A_k \cos \Omega \tau \quad (13)$$

۳- حل پاسخ فرکانسی با استفاده از روش مقیاس چندگانه برای رزونانس اولیه

به منظور ارائه رابطه‌ای تحلیلی از پاسخ فرکانسی nanololle کربنی تک لایه تحت بار هارمونیک از روش مقیاس چندگانه استفاده شده است. برای این منظور ابتدا با در نظر گرفتن $\mu = \varepsilon \mu, \alpha = \varepsilon \alpha, A = \varepsilon A$ که ε پارامتری بسیار کوچک است معادله دیفرانسیل بی‌بعد حاکم بر رفتار nanololle کربنی تک لایه به فرم زیر قابل بازنویسی است.

در رابطه (۱) ρ چگالی، A سطح مقطع، $e_0 a$ پارامتر غیرموضعی، w جابجایی عرضی تیر، t زمان، C ضریب دمپینگ بستر ویسکوالاستیک، I ممان اینرسی، L طول nanololle، $F(t)$ نیروی خارجی و عکس العمل بین nanololle کربنی و بستر ویسکوالاستیک با توجه به مدل وینکلر به فرم زیر در نظر گرفته می‌شود.

$$p(x, t) = -K_E (1 - (e_0 a)^2 \nabla^2) w \quad (2)$$

که ضریب الاستیک بستر ویسکوالاستیک و همچنین N_t نیروی ناشی از دما نیز به فرم زیر است [۱۰].

$$N_t = -\frac{EA}{1-2\nu} \alpha_x \Delta T \theta_x \quad (3)$$

که در آن α_x ضریب نفوذ دمایی در راستای x تغییر دما، ΔT ضریب پواسون و θ_x شیب منحنی هستند. برای شرط مرزی تکیه‌گاه ساده در دو انتهای مدل تیر اوپلر-برنولی برای nanololle کربنی تک لایهتابع شکلی به صورت در نظر گرفته می‌شود. اینتابع شرایط مرزی جابجایی صفر در دو انتهای تیر را برآورده می‌کند. با اعمال اینتابع در معادله دیفرانسیل پارهای غیرخطی (۱) معادله دیفرانسیل معمولی غیرخطی حاکم بر رفتار nanololle کربنی تک لایه به صورت $(x, t) = \sum_{k=1}^K W_k(t) \sin \frac{k \pi x}{L}$ تابعی از زمان به فرم زیر به دست می‌آید.

$$\ddot{W}_k + \frac{C}{\rho A} \dot{W}_k + \left(\frac{k^4 \pi^4 EI}{\eta A L^4} + \frac{K_E}{\rho A} + \frac{k^2 \pi^2 N_t}{\eta A L^2} \right) W_k + \frac{k^4 \pi^4 E}{4 \eta L^4} W_k^3 = \frac{F(t)}{\eta A} \quad (4)$$

که

$$\eta = \rho \left(1 + \left(e_0 a \frac{k \pi}{L} \right)^2 \right) \quad (5)$$

رابطه (۴) را می‌توان به فرم زیر بازنویسی کرد.

$$\ddot{W}_k + \omega_C^2 \dot{W}_k + (\omega_L^2 + \omega_K^2 + \omega_N^2) W_k + \omega_\alpha^2 W_k^3 = \Gamma \cos \omega t \quad (6)$$

که

$$\omega_L = \sqrt{\frac{k^4 \pi^4 EI}{\eta A L^4}} \quad (7)$$

$$D_0^2 u_1 + u_1 = \left[-2i\Psi' - i\mu\Psi - 3\alpha\Psi^2\bar{\Psi} + \frac{1}{2}\Lambda \exp(i\sigma T_1) \right] \exp(iT_0) \quad (23)$$

$$-\mu\Psi^3 \exp(3iT_0) + \frac{1}{2} \exp(i(T_0 + \sigma T_1)) + CC$$

ضریب $\exp(iT_0)$ در رابطه بالا باید برابر صفر باشد زیرا در غیر این صورت پاسخ سیستم به فرم یکران و آگرا خواهد شد. با صفر قرار دادن این ترم معادله دیفرانسیل زیر حاصل می‌شود.

$$2i\left(\Psi' + \frac{1}{2}\mu\Psi\right) + 3\alpha\Psi^2\bar{\Psi} = \frac{1}{2}\Lambda \exp(i\sigma T_1) \quad (24)$$

به منظور حل رابطه (۲۴)، Ψ در فرم قطبی در نظر گرفته می‌شود.

$$\Psi = \frac{1}{2}a \exp(i\theta) \quad (25)$$

$$\Psi' = i\theta' \frac{1}{2}a \exp(i\theta) \quad (26)$$

با قرار دادن روابط اخیر در رابطه (۲۴) و جداسازی ترم‌های حقیقی و موهومی روابط زیر برای دامنه و فاز حاصل می‌شود.

$$a' = -\mu a + \left(\frac{1}{2}\Lambda\right) \sin(\sigma T_1 - \theta) \quad (27)$$

$$a\theta' = \frac{3}{8}\alpha a^3 - \left(\frac{1}{2}\Lambda\right) \cos(\sigma T_1 - \theta) \quad (28)$$

با در نظر گرفتن $a'_n = 0$ ، $\gamma' = 0$ و $\gamma = \sigma T_1 - \theta$ برای حالت پایدار، رابطه زیر حاصل می‌شود.

$$\mu a = \left(\frac{1}{2}\Lambda\right) \sin(\gamma) \quad (29)$$

$$a\sigma - \frac{3}{8}\alpha a^3 = \left(\frac{1}{2}\Lambda\right) \cos(\gamma) \quad (30)$$

با به توان دو رساندن روابط بالا و جمع طرفین، رابطه زیر برای پاسخ فرکانسی نانولوله کربنی حاصل می‌شود.

$$\left[\mu^2 + \left(\sigma - \frac{3}{8}\Lambda a^2 \right)^2 \right] a^2 = \frac{1}{4}\Lambda^2 \quad (31)$$

$$\frac{d^2 u_k}{d\tau^2} + u_k = -\varepsilon\mu \frac{du_k}{d\tau} - \varepsilon\alpha u_k^3 + \varepsilon\Lambda \cos(\Omega\tau) \quad (14)$$

با تعریف پارامتر σ به منظور تحلیل رزونانس اولیه می‌توان فرکانس تحрیک بی بعد را به فرم زیر در نظر گرفت.

$$\Omega = \omega_n + \varepsilon\sigma \quad (15)$$

که با توجه به رابطه (۱۴) $\omega_n = 1$ در نظر گرفته می‌شود. همچنین متغیر مستقل جدید زمان نیز به فرم زیر تعریف می‌شود.

$$T_n = \varepsilon^n \tau \quad (16)$$

با تعریف متغیر زمانی جدید مشتقات اول و دوم نسبت به متغیر τ به صورت زیر استخراج می‌شوند.

$$\frac{d}{d\tau} = \frac{dT_0}{d\tau} \frac{\partial}{\partial T_0} + \frac{dT_1}{d\tau} \frac{\partial}{\partial T_1} + \dots = D_0 + \varepsilon D_1 + \dots \quad (17)$$

$$\frac{d^2}{d\tau^2} = D_0^2 + 2\varepsilon D_0 D_1 + \varepsilon^2 (D_1^2 + 2D_0 D_2) + \dots$$

روش مقیاس چندگانه برای حل رابطه (۱۴) مورد استفاده قرار می‌گیرد.

برای این منظور پاسخ سیستم را می‌توان به صورت زیر در نظر گرفت.
 $u = u_0 + \varepsilon u_1$

با اعمال روشن مقیاس چندگانه معادله زیر قابل استخراج است.

$$(D_0^2 + 2\varepsilon D_0 D_1 + \varepsilon^2 D_1^2 + 2\varepsilon^2 D_0 D_2)(u_0 + \varepsilon u_1) + (u_0 + \varepsilon u_1) = \quad (19)$$

$$-\varepsilon\alpha(u_0 + \varepsilon u_1)^3 - \varepsilon\mu(D_0 + \varepsilon D_1)(u_0 + \varepsilon u_1) + \varepsilon\Lambda \cos(\Omega T_0)$$

در رابطه (۱۹) ضرایب ε^0 و ε^1 به صورت زیر قابل جداسازی هستند.

$$D_0^2 u_0 + u_0 = 0 \quad (20)$$

$$D_0^2 u_1 + u_1 = -2D_0 D_1 u_0 - \alpha u_0^3 - \mu D_0 u_0 + \Lambda \cos(\Omega T_0) \quad (21)$$

حل کلی رابطه (۲۰) به فرم زیر است.

$$u_0 = \Psi(T_1) \exp(iT_0) + CC \quad (22)$$

در رابطه (۲۱) $\Psi(T_1)$ یک پارامتر مجھول C بخش مزدوج ترم اول است. برای محاسبه پاسخ از رابطه (۲۲) در رابطه (۲۱) قرار داده می‌شود.

در این حالت رزونانس ترم سکولار به صورت زیر از رابطه (۳۵) قابل استخراج است.

$$2i\Psi' + i\mu\Psi + 6\alpha\Psi\Lambda^2 + 3\alpha\Psi\bar{\Psi} - \alpha\Lambda^3 \exp(3i\sigma T_1) = 0 \quad (38)$$

با در نظر گرفتن $\Psi = \frac{1}{2}a \exp(i\theta)$ و اعمال آن در رابطه (۳۸) و تفکیک قسمت حقیقی و موهومی دو رابطه زیر استخراج می‌شوند.

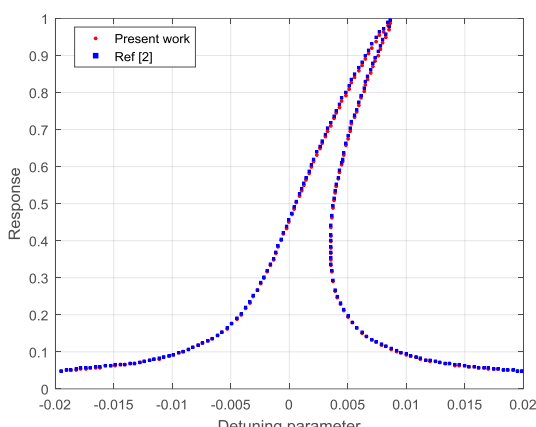
$$a' = -\frac{1}{2}\mu a - \alpha\Lambda^3 \sin(\sigma T_1 - \theta) \quad (39)$$

$$a\theta' = 3\alpha \left(\Lambda^2 + \frac{1}{8}a^2 \right) a + \alpha\Lambda^3 \cos(\sigma T_1 - \theta) \quad (40)$$

با استفاده از روند ارائه شده در بخش قبلی پاسخ فرکانسی به فرم زیر استخراج می‌شود.

$$\left[\frac{1}{4}\mu^2 + \left(\sigma - 3\alpha\Lambda^2 - \frac{3\alpha}{8}a^2 \right)^2 \right] a^2 = \alpha^2\Lambda^6 \quad (41)$$

چند مقداره بودن منحنی پاسخ به دلیل بروز پرش از دیدگاه فیزیکی دارای اهمیت است. ناتولوله کربنی تک‌لایه مورد مطالعه دارای ویژگی‌های مکانیکی و هندسی به صورت مدول الاستیسیته $E = 1/1 \text{ TPa}$ ، چگالی $\rho = 1300 \text{ kg/m}^3$ ، قطر خارجی $L = 45 \text{ mm}$ ، قطر داخلی $d_i = 2/32 \text{ nm}$ ، ضریب نفوذ $\alpha_x = -1/6 \times 10^{-6} \text{ K}^{-1}$ برای حالت دماپایین $\alpha_x = 1/1 \times 10^{-6} \text{ K}^{-1}$ برای حالت دمابالا، تغییرات دما $k = 100$



شکل ۲: اعتبارسنجی نتایج تحقیق حاضر در حالت رزونانس اولیه با مرجع [۲]

Fig. 2. Verification of results of present work in the case of primary resonance with Ref [2]

۴- حل پاسخ فرکانسی با استفاده از روش مقیاس چندگانه برای غیر رزونانس

در این حالت، فرکانس تحریک، Ω ، به اندازه کافی از محدوده فرکانس طبیعی، ω_n ، سیستم فاصله دارد بنابراین اثرات تحریک بسیار ناچیز است مگر در وضعیتی که دامنه تحریک بزرگ باشد. در این حالت پاسخ سیستم به فرم رابطه (۱۸) در نظر گرفته می‌شود. برای این منظور دامنه نیروی خارجی اعمال شده بزرگ در نظر گرفته شده همچنین با در نظر گرفتن $\alpha = \mu = \varepsilon$ و در ادامه با استفاده از روند بیان شده در بخش قبلی و تفکیک ضرایب ε روابط زیر u_1 حاصل می‌شود.

$$D_0^2 u_0 + u_0 = \Lambda \cos(\Omega T_0) \quad (32)$$

$$D_0^2 u_1 + u_1 = -2D_0 D_1 u_0 - \alpha u_0^3 - \mu D_0 u_0 \quad (33)$$

پاسخ رابطه (۳۲) به فرم زیر است.

$$u_0 = \Psi(T_1) \exp(iT_0) + Y \exp(i\Omega T_0) + CC \quad (34)$$

که $Y = \frac{1}{5} \Gamma(\omega_k^2 - \Omega^2)^{-1}$ با قرار دادن رابطه (۳۴) در رابطه (۳۳)، محاسبه می‌شود.

$$\begin{aligned} D_0^2 u_1 + u_1 = & -[2i\Psi' + i\mu\Psi + 6\alpha\Psi\Lambda^2 + 3\alpha\Psi\bar{\Psi}] \exp(iT_0) \\ & - \alpha\Psi^3 \exp(3iT_0) - \alpha\Lambda^3 \exp(3i\Omega T_0) \\ & - 3\alpha\Psi^2\Lambda \exp[i(2+\Omega)T_0] \\ & - 3\alpha\bar{\Psi}^2\Lambda \exp[i(\Omega-2)T_0] \\ & - 3\alpha\Psi\Lambda^2 \exp[i(1+2\Omega)T_0] \\ & - 3\alpha\Psi\Lambda^2 \exp[i(1-2\Omega)T_0] \\ & - \Lambda [2i\mu\Omega + 3\alpha\Lambda^2 + 6\alpha\Psi\bar{\Psi}] \exp(i\Omega T_0) + CC \end{aligned} \quad (35)$$

برای حالتی که فرکانس تحریک $\frac{1}{3}\omega_n$ نزدیک به است که تحت عنوان رزونانس سوپرهازونیک نامیده می‌شود، می‌توان رابطه زیر را نوشت. توجه این که در این تحلیل $1/\omega_n = 1$ است.

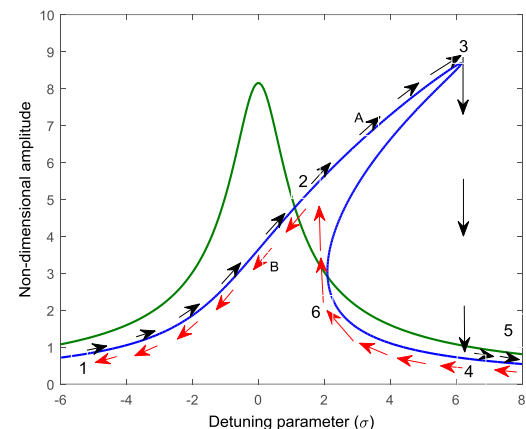
$$3\Omega = 1 + \varepsilon\sigma \quad (36)$$

به منظور حذف ترم‌های سکولار در رابطه (۳۵) در این حالت $3\Omega T_0 = \omega_n T_0 + \sigma T_1$ بر حسب $\omega_n T_0$ به فرم زیر نوشته می‌شود.

$$3\Omega T_0 = \omega_n T_0 + \sigma T_1 \quad (37)$$

کاهشی و افزایشی با تغییر پارامتر تنظیم‌کننده صورت گیرد. در حالت افزایشی منحنی تغییر دامنه حرکت از مسیر A و در حالت کاهشی از مسیر B عبور خواهد کرد. در این دو حالت دامنه تحریک ثابت فرض می‌شود. با افزایش فرکانس تحریک از نقطه ۱ دامنه حرکت به‌آرامی افزایش یافته تا از نقطه ۲ عبور و به مقدار بیشینه خود در نقطه ۳ برسد. هرگاه در این وضعیت مقدار کمی افزایش یابد یک تغییر کاهشی بزرگ در دامنه حرکت ایجاد شده و دامنه حرکت از مکان ۳ به مکان ۴ پرش می‌کند. در ادامه با افزایش دامنه حرکت به‌آرامی کاهش یافته تا به نقطه ۵ برسد. هرگاه فرکانس تحریک با کاهش روند کاهشی از نقطه ۵ طی کند. در ابتدا با کاهش دامنه حرکت به‌آرامی کاهش یافته تا از نقطه ۴ عبور و به نقطه ۶ برسد. با کاهش یک تغییر افزایشی بزرگ در دامنه حرکت ایجاد شده و دامنه حرکت از وضعیت ۶ به وضعیت ۲ پرش می‌کند. با ادامه روند کاهشی فرکانس تحریک دامنه حرکت به‌آرامی روند نزولی خود را تا نقطه ۱ طی خواهد کرد. بیشینه دامنه پاسخ متناظر با نقطه ۳ زمانی رخ می‌دهد که افزایش فرکانس تحریک با مقادیر کمتر فرکانس طبیعی صورت گیرد. بخش بین نقاط ۳ و ۴ جز نواحی ناپایدار است. به همین دلیل به طور آزمایشگاهی قابل تجربه نیست. همچنین با توجه به شکل ۳ می‌توان دریافت که پدیده پرش فقط با در نظر گرفتن اثر غیرخطی قابل تجربه بوده و در حالت خطی این پدیده قابل مشاهده نیست.

شکل ۴ اثر دامنه بی بعد نیروی خارجی را بر پاسخ فرکانسی نanolوله کربنی تک لایه در رزونانس اولیه برای $\Lambda = 10$ ، $\Lambda = 20$ ، $\Lambda = 30$ و $\Lambda = 40$ نشان می‌دهد. بر اساس سوپر هارمونیک برای $\Lambda = 7$ ، $\Lambda = 8$ ، $\Lambda = 9$ و $\Lambda = 10$ مشاهده می‌شود که افزایش دامنه تحریک موجب شدیدتر شدن پرش و افزایش ناپایداری سیستم می‌شود.

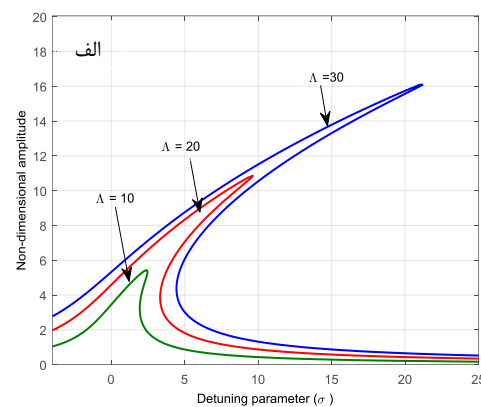
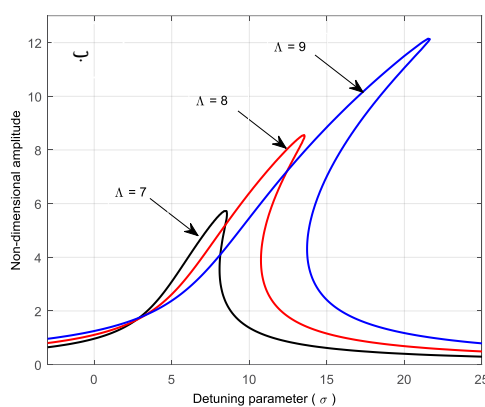


شکل ۳: اثر عامل غیرخطی بر پاسخ فرکانسی نanolوله کربنی تک لایه

Fig. 3. Effect of nonlinear term on the frequency response of single-walled carbon nanotube

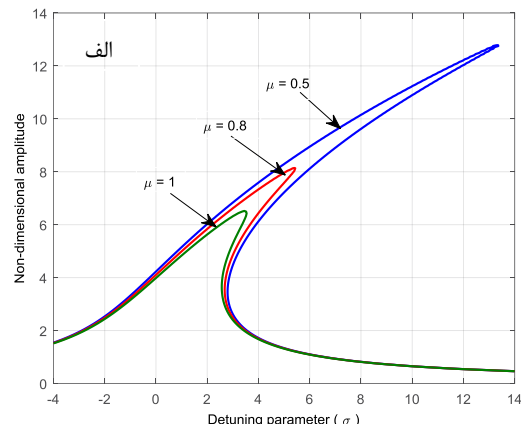
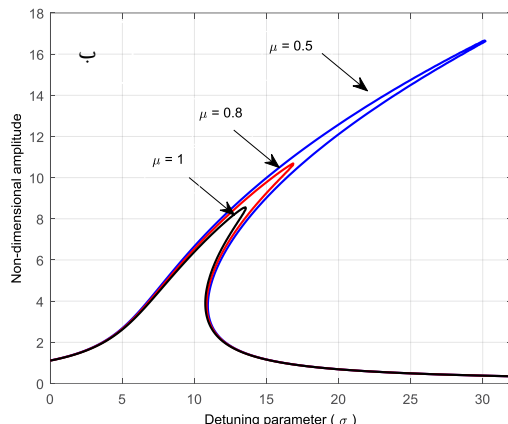
ΔT ضریب پواسون و ضریب الاستیک بستر ویسکوالاستیک برابر Ns/m^2 و $K_E = 107 N/m^2$ و ضریب استهلاک بستر ویسکوالاستیک برابر $C = 3 \times 10^{-15} m$ است [۷-۱۵]. شکل ۲ اعتبارسنجی نتایج تحقیق حاضر با در نظر گرفتن مقادیر عددی ارائه شده در مرجع [۲] برای حالت رزونانس اولیه پاسخ فرکانسی استخراج و با نتایج مرجع [۲] نشان می‌دهد. بر اساس منحنی پاسخ فرکانسی نشان داده شده در شکل ۲ می‌توان دریافت که تطابق سیار نزدیکی بین نتایج وجود دارد. در مرجع [۲] اثر دما در معادلات حاکم بر رفتار نanolوله کربنی در نظر گرفته نشده است و تحلیل انجام شده فقط بر روی رزونانس اولیه معطوف شده است. بنابراین در نظر گرفتن اثر دما تفاوت در مسئله بین کار حاضر و مرجع [۲] است.

شکل ۳ اثر پارامتر تنظیم‌کننده فرکانس را دامنه بی بعد در دو وضعیت خطی و غیرخطی نشان می‌دهد. تغییر فرکانس تحریک می‌تواند به دو صورت



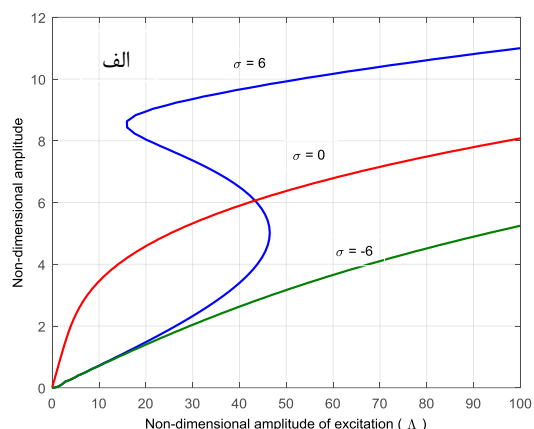
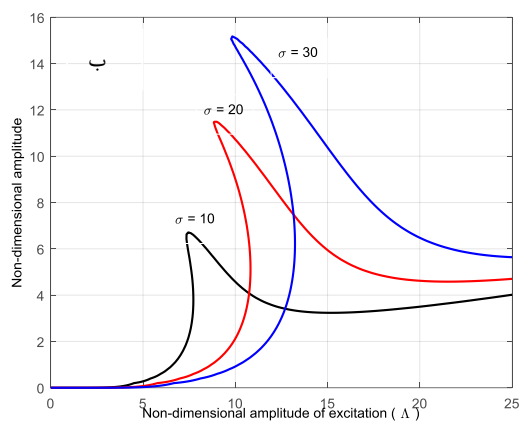
شکل ۴: اثر دامنه بی بعد نیروی خارجی بر پاسخ فرکانسی نanolوله کربنی در (الف) رزونانس اولیه (ب) سوپر هارمونیک

Fig. 4. Effect of non-dimensional amplitude of external force on the frequency response of carbon nanotube a) primary resonance b) superharmonic resonance



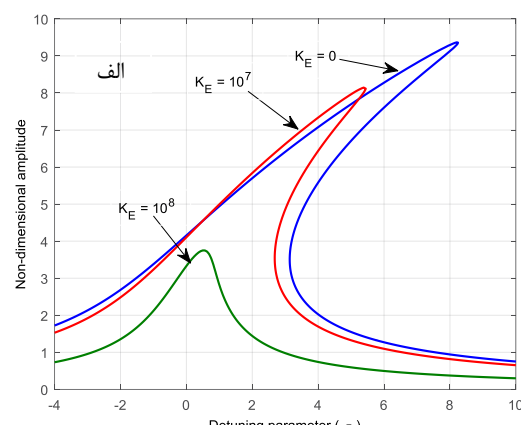
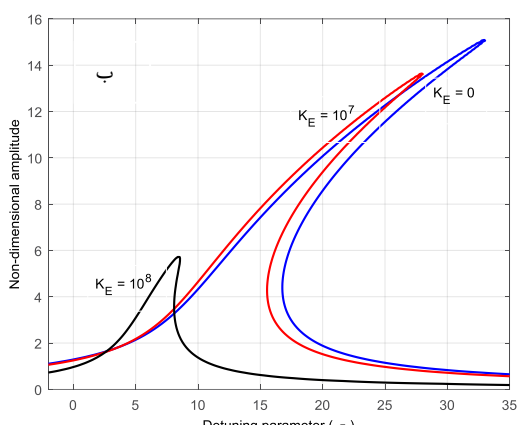
شکل ۵: اثر استهلاک بر پاسخ فرکانسی نanolوله کربنی در (الف) رزونانس اولیه ب) سوپرهارمونیک

Fig. 5. Effect of damping on the frequency response of carbon nanotube a) primary resonance b) super-harmonic resonance



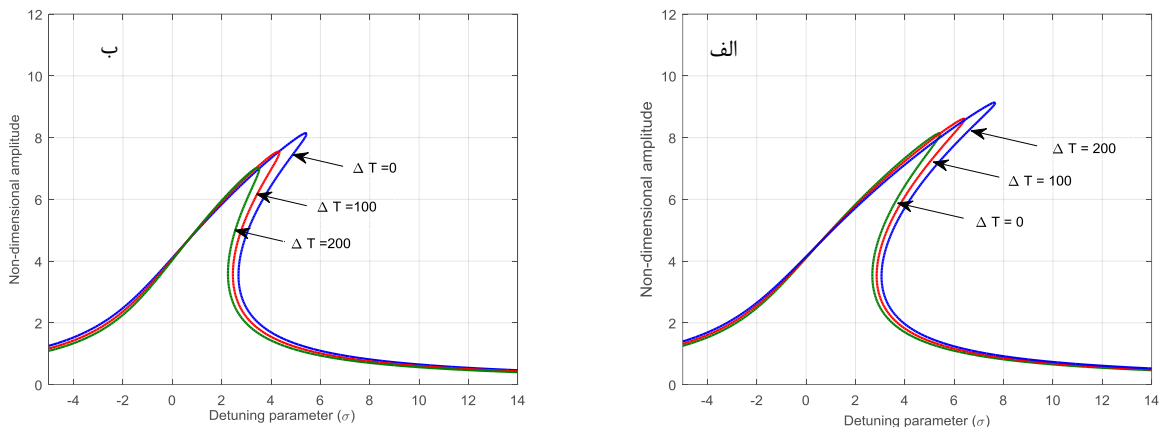
شکل ۶: اثر پارامتر تنظیم‌کننده فرکانسی نanolوله کربنی در (الف) رزونانس اولیه ب) سوپرهارمونیک

Fig. 6. Effect of detuning parameter on the frequency response of carbon nanotube a) primary resonance b) super-harmonic resonance



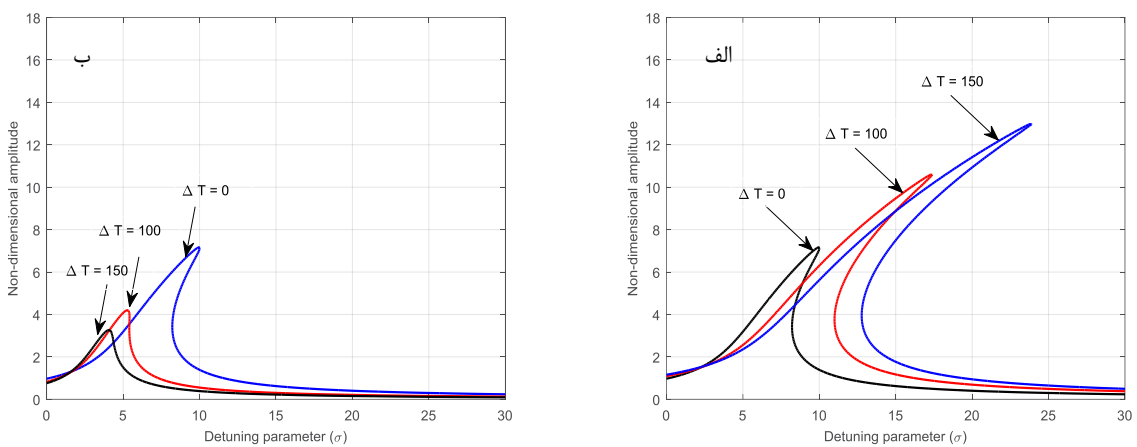
شکل ۷: اثر ضریب سفتی بستر ویسکوالاستیک بر پاسخ فرکانسی نanolوله کربنی در (الف) رزونانس اولیه ب) سوپرهارمونیک

Fig. 7. Effect of stiffness of viscoelastic foundation on the frequency response of carbon nanotube a) primary resonance b) super-harmonic resonance



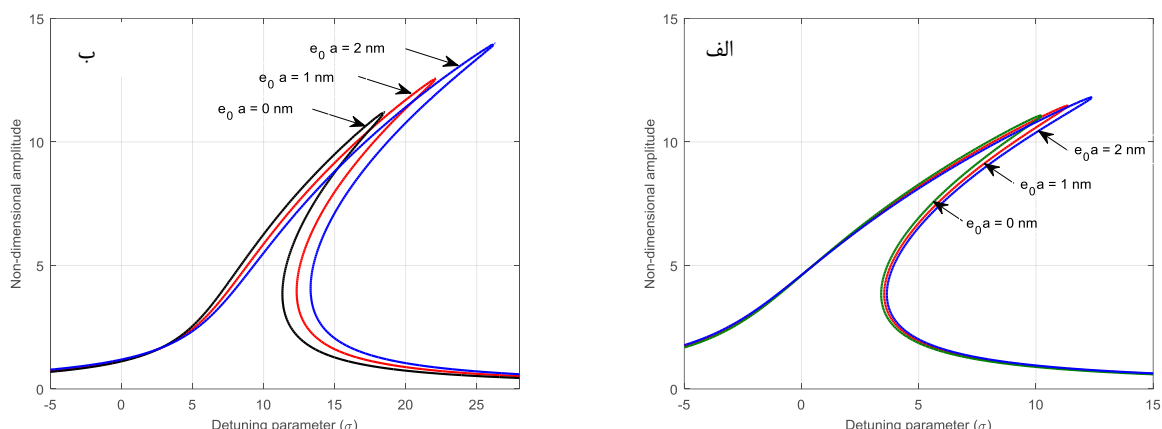
شکل ۸: اثر تغییر دما بر پاسخ فرکانسی نانولوله کربنی در رزونانس اولیه برای وضعیت الف) دما بالا (ب) دما پایین

Fig. 8. Effect of temperature change on the frequency response of carbon nanotube in the case of primary resonance a) high temperature b) low temperature



شکل ۹: اثر تغییر دما بر پاسخ فرکانسی نانولوله کربنی در رزونانس سوپرهارمونیک برای وضعیت الف) دما بالا (ب) دما پایین

Fig. 9. Effect of temperature change on the frequency response of carbon nanotube in the case of superharmonic resonance a) high temperature b) low temperature



شکل ۱۰: اثر پارامتر غیرموضعی بر پاسخ فرکانسی نانولوله کربنی الف) رزونانس اولیه ب) رزونانس سوپرهارمونیک

Fig. 10. Effect of nonlocal parameter on the frequency response of carbon nanotube a) primary resonance b) super-harmonic resonance

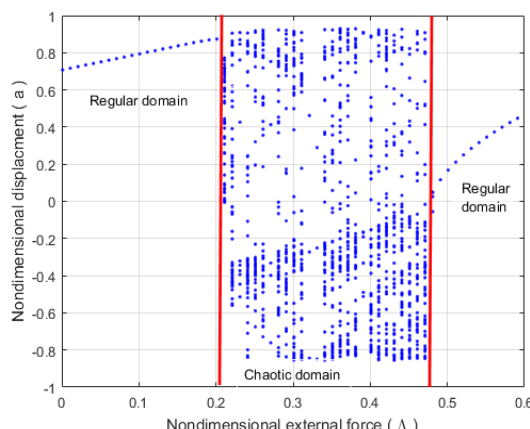
سوپرهارمونیک نسبت به رزونانس اولیه بیشتر است که نشان دهنده حساسیت بیشتر نسبت به ضریب بستر الاستیک در وضعیت سوپرهارمونیک است.

برای تحلیل کمی اثر تغییر دما بر پاسخ فرکانسی نانولوله کربنی در دو وضعیت دما بالا با ضریب نفوذ $K^{-1} = 1/1 \times 10^{-6}$ و دما پایین با ضریب نفوذ $K^{-1} = -1/6 \times 10^{-6}$ برای رزونانس اولیه و سوپرهارمونیک شکل های ۸ و ۹ ارائه شده است. با توجه به این شکل ها تغییرات دما بر پاسخ فرکانسی نانولوله کربنی در دو وضعیت دما بالا و دما پایین دو اثر مختلف دارد. برای وضعیت دما بالا در هر دو حالت رزونانس اولیه و رزونانس سوپرهارمونیک افزایش تغییر دما موجب افزایش ناپایداری شده و موجب تقویت پدیده نامطلوب پرس با دامنه بیشتر می شود. بر عکس در وضعیت دما پایین افزایش دما موجب افزایش پایداری نانولوله کربنی شده و در تغییرات دمای به اندازه کافی بالا پدیده پرس از سیستم تقریباً حذف می شود.

اثر پارامتر غیرموضعی بر پاسخ فرکانسی نانولوله کربنی برای دو حالت رزونانس اولیه و سوپرهارمونیک در وضعیت دما بالا در شکل ۱۰ نشان داده شده است. با تحلیل منحنی های پاسخ فرکانسی ارائه شده می توان نتیجه گرفت که افزایش این پارامتر موجب تشدید پدیده پرس شده به طوری که تغوری کلاسیک با $e_0 a = 0$ nm پدیده پرس را با شدت کمتری نسبت به تغوری غیرموضعی ارائه می کند.

۵- نتایج و بحث در امکان سنجی آشوب

همان طور که در مقدمه بیان شد رفتار آشوبناک در یک سیستم غیرخطی ناشی از منابع مختلفی شامل رفتار غیرخطی مکانیکی عناصر سیستم،



شکل ۱۱: نمودار دوشاخه ای شدن بر حسب پارامتر کنترلی دامنه تحریک نانولوله کربنی تک لایه

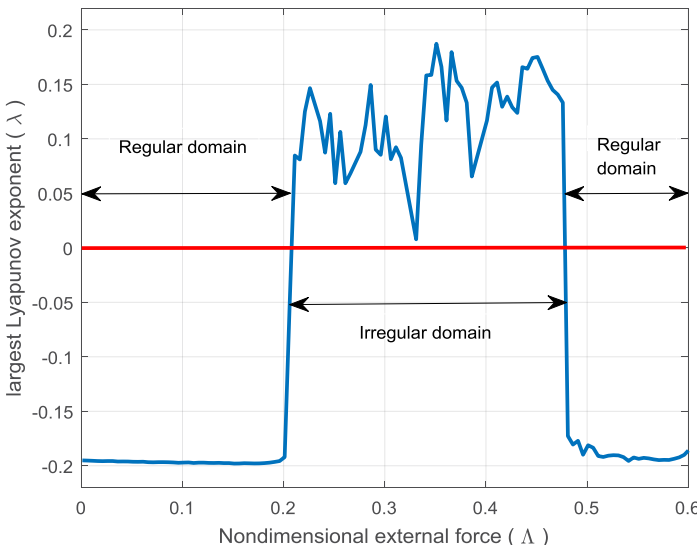
Fig. 11. Bifurcation diagram of carbon nanotube respect to the amplitude of external force

همچنین با کنترل دامنه تحریک در محدوده پایین می توان تا حد زیادی اثرات نامطلوب غیرخطی را تعديل نمود. علاوه بر این منحنی مکان هندسی بیشینه دامنه برای رزونانس اولیه یک منحنی بوده ولی در حالت سوپرهارمونیک دارای منحنی های مختلف است. همچنین با توجه به مقادیر دامنه تحریک می توان دریافت که میزان حساسیت نسبت به تغییرات این پارامتر برای حالت تشدید سوپرهارمونیک نسبت به تشدید اولیه بیشتر است.

اثر عامل استهلاک بر منحنی های پاسخ فرکانسی نانولوله کربنی تک لایه برای سه مقدار $\mu = 0.8$ ، $\mu = 1$ و $\mu = 0.5$ در شکل ۵ برای رزونانس اولیه و سوپرهارمونیک نشان داده شده است. با توجه به منحنی های پاسخ فرکانسی می توان دریافت که با کاهش عامل استهلاک دامنه حرکت به سمت فرکانسی ناپایداری میل کرد و سیستم ناپایدارتر می شود. به عبارت دیگر با افزایش ضریب استهلاک دامنه حرکت یافته به طوری که در مقادیر بیشتر مانند $\mu = 0.5$ اثر پدیده نامطلوب پرس تا حد زیادی کاهش یافته و سیستم به سمت پایداری بیشتر میل می کند. مکان هندسی بیشینه دامنه برای هر دو حالت تشدید دارای یک منحنی است.

منحنی های تغییرات دامنه بی بعد بر حسب دامنه تحریک برای رزونانس اولیه با سه مقدار $\sigma = 6$ ، $\sigma = 10$ و $\sigma = 20$ و برای رزونانس سوپر هارمونیک با $\sigma = 30$ در شکل ۶ نشان داده شده است. مشاهده می شود که پدیده پرس در این منحنی ها به ازای $\sigma = 6$ برای حالت رزونانس اولیه ولی برای حالت رزونانس سوپرهارمونیک میزان تغییرات پارامتر تنظیم کننده فرکانس اثر چشمگیری بر وقوع پرس ندارد. همچنین برای رزونانس اولیه با توجه به منحنی های پاسخ سیستم، پدیده پرس برای مقادیر فرکانس تحریک بیشتر از فرکانس طبیعی سیستم به وجود می آید و برای رزونانس سوپرهارمونیک پدیده پرس به صورت پسرو ظاهر می شود.

اثر ضریب سفتی بستر ویسکوالاستیک بر منحنی های پاسخ فرکانسی نانولوله کربنی تک لایه برای سه مقدار $K_E = 10$ MPa، $K_E = 50$ MPa و $K_E = 100$ MPa در شکل ۷ نمایش داده شده است. بر اساس منحنی های نمایش داده شده با افزایش ضریب سفتی بستر ویسکوالاستیک سیستم به سمت پایداری بیشتر میل کرد و رفتار غیرخطی سیستم به رفتار خطی آن نزدیک می شود، به طوری که در $K_E = 100$ MPa تقریباً پدیده پرس از بین رفته است؛ بنابراین می توان نتیجه گرفت که سفتی سیستم عاملی مثبت در کاهش و حذف پدیده نامطلوب پرس و افزایش پایداری سیستم محسوب می شود. برای هر دو حالت رزونانس اولیه و سوپرهارمونیک پدیده پرس به فرم پیش رو ظاهر شده است. علاوه بر این میزان دامنه پاسخ برای رزونانس



شکل ۱۲: نمودار بزرگترین نمای لیاپانوف بر حسب پارامتر کنترلی دامنه تحریک نانولوله کربنی تک لایه

Fig. 12. The largest Lyapunov exponent diagram of carbon nanotube respect to the amplitude of external force

زمانی متناظر محاسبه شده است. هر خط سیر ایجاد شده در فضای فازی n بعدی دارای مقطع پوانکاره با بعد n_1 - خواهد بود و نقاط روی این مقاطع با n_1 - مختصه مشخص می‌شود. تبدیل یا نگاشتی که فصل مشترک جاری از یک مقطع پوانکاره را به فصل مشترک بعدی از همان مقطع پوانکاره بنگارد، نگاشت پوانکاره نامیده می‌شود. برای این تحقیق نقاط پوانکاره در هر پریود از پاسخ زمانی جمع‌آوری می‌شود. برای یک حرکت پریودیک نگاشت پوانکاره شامل تعداد محدودی از نقاط منفصل بوده در حالی که این نگاشت برای یک حرکت شبه پریودیک شامل منحنی بسته از نقاط منفصل است؛ اما هرگاه نگاشت پوانکاره هیچ‌یک از دو حالت مذکور نباشد بلکه شامل تعداد زیادی از نقاط بدون نظم باشد حرکت متناظر با آن یک حرکت آشوبناک است [۱۴ و ۱۵]. برای ترسیم نمودار دوشاخه‌ای شدن در این تحقیق با تغییر دامنه تحریک معادله دیفرانسیل بالا حل شده و نقاط پوانکاره متناظر با آن ترسیم شده و بازه‌های رفتار پریودیک از رفتار آشوب از روی آن با توجه به زیاد شدن نقاط پوانکاره قابل تشخیص است. نمودار دوشاخه‌ای شدن ارائه شده در شکل ۱۱ بیان می‌کند با توجه به تناظر یک‌به‌یک و محدود تعداد نقاط پوانکاره برای بازه‌های $0/21 < \Lambda < 0/06$ و $0/48 < \Lambda < 0/40$ رفتار سیستم منظم و با توجه به تناظر نامحدود تعداد نقاط پوانکاره برای $0/48 < \Lambda < 0/21$ رفتار سیستم غیرمنظم یا آشوبناک است.

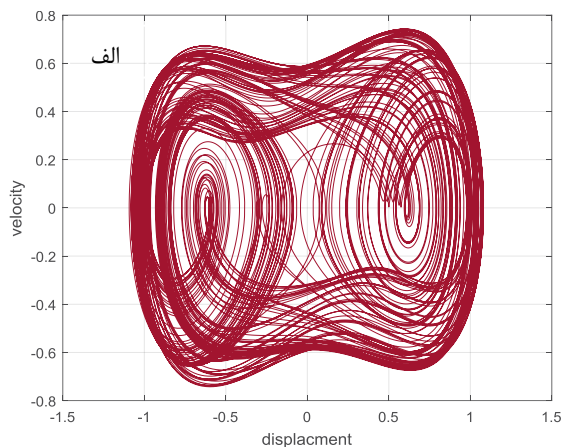
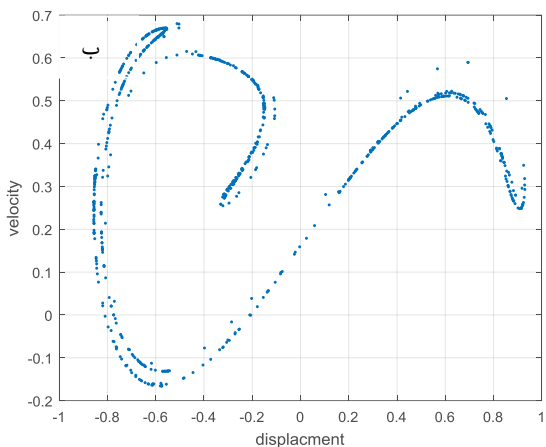
۵-۲- بزرگترین نمای لیاپانوف

آشوب در سیستم‌های اجباری واستگی شدیدی نسبت به شرایط اولیه

جابجایی‌های بزرگ، تغییر‌شکل‌های زیاد و... رخ می‌دهد. به منظور شناسایی پارامترهای بحرانی آشوب از پارامترهای رفتار پریودیک و شبه‌پریودیک و تعیین دامنه تغییرات این پارامترها با رفتار ارتعاشی آشوبناک از ابزاری مانند نمودارهای دوشاخه‌ای شدن و بزرگترین نمای لیاپانوف می‌توان استفاده نمود. با تعیین پارامترهای بحرانی آشوب می‌توان رفتار ارتعاشی سیستم در این مقدار را در قالب نمودارهای فازی جابجایی-سرعت، دیاگرام پوانکاره، پاسخ تاریخچه زمانی و نمودارهای طیف توانی مشاهده نمود. بنابراین در گام اول ابتدا با استفاده از دو ابزار نمودارهای دوشاخه‌ای شدن و بزرگترین نمای لیاپانوف به امکان‌سنجی وقوع پدیده آشوب با در نظر گرفتن دامنه تحریک به عنوان پارامتر متغیر در نانولوله کربنی تک لایه تحت بار هارمونیک پرداخته می‌شود.

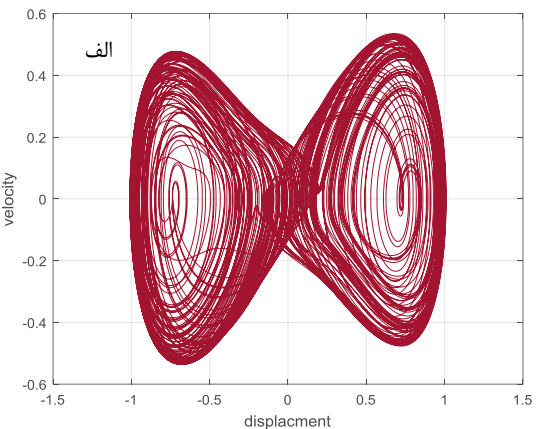
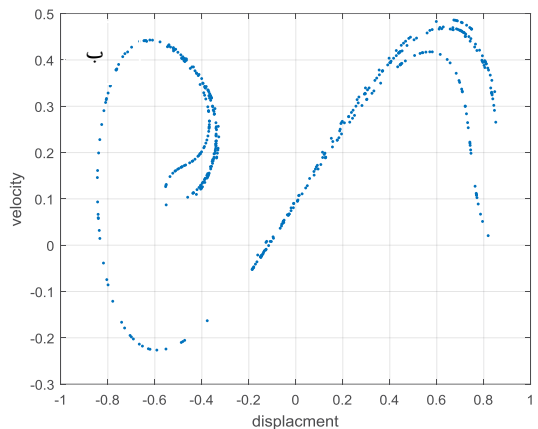
۵-۱- نمودارهای دوشاخه‌ای شدن

در یک سیستم دینامیکی پایداری نقاط تعادل و تعداد آن‌ها بستگی به پارامترهای سیستم دینامیکی دارد که در مسائل غیرخطی موضوع تئوری دوشاخه‌ای شدن است. نحوه تغییر این نقاط تعادل و چگونگی رفتار دینامیکی سیستم در این نقاط تعادل از درجه اهمیت بالایی برخوردار است. به همین دلیل مقادیری از پارامترهای یک سیستم دینامیکی که کیفیت رفتار دینامیکی سیستم را تحت تأثیر قرار می‌دهد تحت عنوان مقادیر بحرانی یا مقادیر دوشاخه‌ای شدن معرفی می‌شوند. برای استخراج و ترسیم نمودار دوشاخه‌ای شدن ابتدا معادلات دیفرانسیل حاکم بر حرکت نانولوله کربنی، رابطه (۱۳)، با استفاده از روش رانگ کوتا به روش عددی در نرم‌افزار متلب حل و پاسخ



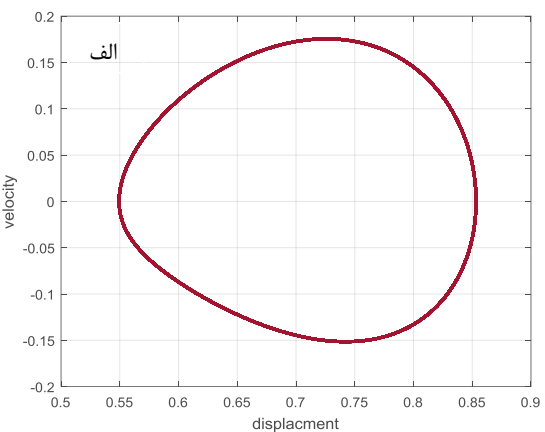
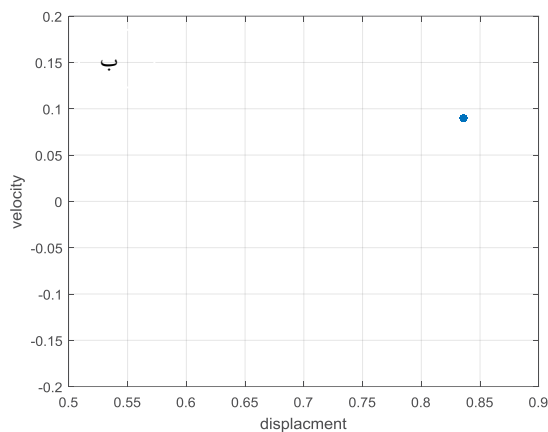
شکل ۱۳: نمودار فازی (الف) و نگاشت پوانکاره (ب) رفتار آشوبناک نanolوله کربنی تک لایه برای $A = 0.4$

Fig. 13. Phase portrait (a) and Poincare map (b) of chaotic response of single walled carbon nanotube $A=0.4$



شکل ۱۴: نمودار فازی (الف) و نگاشت پوانکاره (ب) رفتار آشوبناک نanolوله کربنی تک لایه برای $A = 0.22$

Fig. 14. Phase portrait (a) and Poincare map (b) of chaotic response of single walled carbon nanotube $A=0.22$



شکل ۱۵: نمودار فازی (الف) و نگاشت پوانکاره (ب) رفتار پریودیک نanolوله کربنی تک لایه برای $A = 0.15$

Fig. 15. Phase portrait (a) and Poincare map (b) of periodic response of single walled carbon nanotube $A=0.15$

پیش‌بینی حاصل از نمودارهای دوشاخه‌ای شدن را تأیید می‌کند.

۵-۳- نمودارهای فازی و پوانکاره

با توجه به نتایج بدست آمده از نمودارهای دوشاخه‌ای شدن به مطالعه چگونگی رفتار سیستم با استفاده از نمودارهای فضای فازی و نگاشت پوانکاره پرداخته می‌شود. نمودارهای فضای فازی و نگاشت پوانکاره نیز با استفاده از روش عددی استخراج شده است. برای این منظور ابتدا با استفاده از روش رانگ کوتا معادلات دیفرانسیل حاکم بر حرکت سیستم حل و با استخراج پاسخ زمانی که جابجایی و سرعت سیستم است نمودار فازی ترسیم می‌شود. همچنین نگاشت پوانکاره برای هر پارامتر در نظر گرفته شده نظری استخراج نمودار دوشاخه‌ای شدن ترسیم شده است. نمودار دوشاخه‌ای شدن برای دامنه تحریک بی بعد سیستم به ازای $\frac{1}{4}$ و $\frac{1}{22}$ و $\frac{1}{40}$ رفتار سیستم را به صورت آشوبناک و برای $\frac{1}{15}$ رفتار سیستم را پریویدیک پیش‌بینی می‌کند. این رفتارها را می‌توان در شکل‌های ۱۳ تا ۱۵ مشاهده نمود. در شکل‌های ۱۳ و ۱۴ نمودار فازی تمایل به پر کردن بخشی از فضای فازی را دارد بدون اینکه از رفتار مشخصی پیروی کند همچنین نمودار پوانکاره متناظر نیز دارای تعداد نقاط نامحدود بوده که از مشخصه‌های رفتار آشوبناک است. همچنین با توجه به نمودار فازی و نگاشت پوانکاره ارائه شده در شکل ۱۵ با توجه به یک سیکل منحنی بسته در نمودار فازی و یک نقطه پوانکاره متناظر در نمودار نگاشت پوانکاره می‌توان دریافت که سیستم دارای رفتاری پریویدیک است.

۶- نتیجه‌گیری

در این مقاله با در نظر گرفتن اثرات محیط حرارتی و غیرموضعی، مدلی غیرخطی از رفتار دینامیکی نانولوله‌های کربنی تک لایه رو بستر ویسکوالاستیک تحت اعمال نیروی هارمونیک خارجی ارائه شده و رفتارهای غیرخطی آشوبناک و پدیده پرش در رزونانس اولیه و سوپرهارمونیک مورد تحلیل قرار گرفته است. برای این هدف ابتدا بر اساس مدل تیر اوبلر برنولی غیرخطی غیرموضعی معادلات دیفرانسیل جزئی حاکم بر رفتار نانولوله‌های کربنی تک لایه استخراج و سپس با استفاده از روش گالرکین به همراه توابع شکل مثبتانه این دستگاه معادلات جزئی به معادلات دیفرانسیل معمولی تابع زمان کاهش داده شد. برای استخراج روابط تحلیلی مربوط به رزونانس اولیه و سوپرهارمونیک از روش مقیاس چندگانه استفاده و برای تحلیل آشوب روش عددی رانگ کوتا بکار گرفته شده است. به منظور استخراج پارامترهای آشوب از دو روش نمودارهای دوشاخه‌ای شدن و بزرگ‌ترین

دارند. به این معنی که اگر دو خط سیر در فضای فازی از دو نقطه نزدیک به هم شروع شوند با گذشت زمان به صورت نمایی از یکدیگر دور می‌شوند. نماهای لیاپانوف مقادیری حدی می‌باشد که در فضای فازی به صورت محلی تعریف می‌شوند. همچنین با گذشت زمان میزان رشد یا زوال یک فاصله کوچک از یک خط سیر در یک مکان خاص از صفحه فاز را به صورت نمایی مشخص می‌کند. نماهای لیاپانوف را می‌توان برای یک سیستم مکانیکی با معادلات دیفرانسیل حاکم بر حرکت مشخص و یا از داده‌های آزمایشگاهی محاسبه کرد. تحلیل‌های ارائه شده توسط نماهای لیاپانوف، تحلیل پایداری لیاپانوف نامیده می‌شوند. به کمک این نماها می‌توان بین نقاط ثابت، حرکت پریویدیک، حرکت شبه پریویدیک و آشوبناک تمایز قائل شد. برای محاسبه نمای لیاپانوف معادلات حاکم بر حرکت سیستم را با استفاده از روش رانگ کوتا حل و در هر بازه زمانی کوتاه فاصله دو نقطه نزدیک به هم در فضای فازی را که با شرایط اولیه مختلف متناظر با $d(t) = d_0 \times 2^{\frac{t}{T}}$ با مقادیر فاصله در هر بازه انطباق داده می‌شود. در صورت واگرا بودن این فواصل مثبت بوده که میین رفتاری شبه پریویدیک و پریویدیک است [۱۴ و ۱۵]. پس اگر اندازه اولیه d_0 بین دو نقطه شروع باشد پس از گذشت t زمان فاصله بین آن‌ها به صورت $d(t) = d_0 \times 2^{\frac{t}{T}}$ خواهد بود. انتخاب پایه دو یک انتخاب مناسب ولی دلخواه است. نماد را نمای لیاپانوف می‌نامند. جاذب‌ها نماهای لیاپانوف مثبت میین رفتاری آشوبناک است و در صورت صفر یا منفی بودن هستند. در این نوع جاذب‌ها نمای لیاپانوف مثبت باعث واگرایی نمای دو خط سیر در فضای فازی می‌شوند. نمای مثبت نشانه واگرایی و نمای منفی نشانه همگرایی است و بزرگی قدر مطلق نما سرعت همگرایی یا واگرایی را نشان می‌دهد. صفر بودن نما، حالت گذرای سیستم را بیان می‌کند. سیستمی را که هم نمای لیاپانوف مثبت و هم منفی دارد رفتاری آشوبناک خواهد داشت. صحت پیش‌بینی رفتار سیستم با استفاده از نمودارهای دوشاخه‌ای شدن، توسط نمودار بزرگ‌ترین نمای لیاپانوف مورد بررسی قرار گرفت. شکل ۱۲ تغییرات بزرگ‌ترین نمای لیاپانوف را بر حسب دامنه بی بعد تحریک نشان می‌دهد. مرز بین رفتار منظم از رفتار آشوبناک با خط صفر نمایش داده شده است. با توجه به مقدار منفی بزرگ‌ترین نمای لیاپانوف برای بازه‌های $\frac{1}{12} < t < \frac{1}{6}$ و $\frac{1}{6} < t < \frac{1}{4}$ رفتار سیستم منظم و با توجه به مقدار مثبت بزرگ‌ترین نمای لیاپانوف برای $\frac{1}{4} < t < \frac{1}{2}$ رفتار سیستم غیرمنظم یا آشوبناک است. پیش‌بینی نمودار بزرگ‌ترین نمای لیاپانوف نتایج

۹- نمودار فازی آشوبناک دارای منحنی‌های غیرمنظم است که تمایل به پر نمودن بخش مشخصی از فضای فازی را بدون پیروی از الگوی مشخصی دارد که این رفتار برای دامنه‌های تحریک $0.0 \leq A \leq 0.22$ و $0.0 \leq A \leq 0.15$ مشاهده شد. همچنین برای $A = 0.15$ با توجه به جذب شدن به یک سیکل حدی مشخص رفتار سیستم پریودیک است.

- استفاده از آزمایش خستگی فرماصوتی سبب کاهش زمان بدلیل فرکانس بالای آن می‌شود.
- با توجه به کاهش زمان لازم به منظور دستیابی به تعداد چرخه خاص، رسیدن به چرخه‌های بالای 10^7 چرخه در مدت زمان به مراتب کمتری از گذشته امکان‌پذیر می‌باشد.
- کاهش قطر در قسمت میانی سبب ایجاد تنفس اعمالی بزرگ‌تری به آن ناحیه می‌شود.
- افزایش انحصار در قسمت میانی سبب ایجاد تنفس اعمالی بزرگ‌تری به آن ناحیه می‌شود.
- استحکام خستگی آی.اس.آی. ۱۰۴۵ تا ۲۰۴ مگا پاسکال کاهش پیدا کرد.

۷- فهرست علائم

علائم انگلیسی	
مساحت، m^2	A
دامنه بی بعد جابجایی	a
ضریب ویسکویزیته بستر ویسکوالاستیک N.s/m	C
قطر داخلی نanolole nm	d_i
قطر خارجی نanolole nm	d_o
اپراتور مشتق نسبت T_0	D_0
اپراتور مشتق نسبت T_1	D_1
اپراتور مشتق نسبت T_2	D_2
مدول الاستیسیتی، N/m^2	E
ضریب غیرموضعی nm	e_0a
نیروی تحریک N	F
ممان اینرسی m^4	I
ضریب الاستیک بستر ویسکوالاستیک N/m	K_E
پارامتر حقیقی k	k
پارامتر حقیقی K	K
طول نanolole nm	L
نیروی دمایی N	N_t
نیروی بستر ویسکوالاستیک N	P
ضریب تناسب r	r
زمان sec	t
متغیر مستقل زمان T_n	T_n
تغییر دما ΔT	ΔT

نمای لیپانوف استفاده شد و پس از استخراج بازه‌های رفتار منظم و آشوب پاسخ دینامیکی سیستم در قالب نمودارهای فضای فازی (جابجایی-سرعت) و نگاشت پوانکاره نمایش داده شد. نتایج مهم استخراج شده در این مقاله به شرح زیر است.

۱- پدیده نامطلوب پرش در مدل غیرخطی نanolole‌های کربنی تک لایه می‌تواند به صورت پسرو و پیشرو و متاثر از پارامترهای ضرایب بستر ویسکوالاستیک، دامنه تحریک خارجی و پارامتر تنظیم‌کننده فرکانس ظاهر شود.

۲- افزایش ضرایب بستر ویسکوالاستیک اثر مثبت بر کاهش و حذف پدیده پرش داشته در حالی که افزایش دامنه تحریک خارجی اثری منفی دارد. این اثرات برای هر دو حالت رزونانس اولیه و سوپرهازمونیک مشاهده شد.

۳- تغییر پارامتر تنظیم‌کننده فرکانس در نمودار دامنه پاسخ برحسب دامنه تحریک خارجی برای حالت رزونانس سوپرهازمونیک و اولیه موجب بروز پدیده پسرو پرش می‌شود.

۴- تغییر دما در دو حالت دمابالا و دمایپایین دو اثر مختلف بر پاسخ فرکانسی نanolole کربنی برای هر دو حالت رزونانس اولیه و سوپرهازمونیک داشته به طوری که افزایش تغییرات دما در حالت دمابالا موجب تشید نایابداری و در حالت دمایپایین موجب کاهش نایابداری می‌شود.

۵- تئوری کلاسیک نسبت به تئوری موضعی سطح پایداری بیشتری را هر دو وضعیت رزونانس اولیه و سوپرهازمونیک پیش‌بینی کرده به طوری که با افزایش پارامتر غیرموضعی بر شدت پدیده پرش افزوده شده و بیشینه دامنه نanolole کربنی افزایش می‌یابد.

۶- در نمودارهای دوشاخه‌ای شدن تعداد نامحدود نقاط بوانکاره نشان‌دهنده رفتار نامنظم و تعداد محدود آن نشان‌دهنده رفتار پریودیک نanolole‌های کربنی تک لایه است؛ که در بازه‌های $0.0 \leq A \leq 0.21$ و $0.0 \leq A \leq 0.48$ رفتار سیستم منظم در بازه $0.0 \leq A \leq 0.21$ رفتار سیستم آشوبناک پیش‌بینی شد.

۷- در نمودارهای بزرگ‌ترین نمای لیپانوف مقدار منفی نشان‌دهنده رفتار منظم و مقدار مثبت نشان‌دهنده رفتار آشوبناک برای نanolole‌های کربنی تک لایه است که در بازه‌های $0.0 \leq A \leq 0.21$ و $0.0 \leq A \leq 0.48$ رفتار سیستم منظم در بازه $0.0 \leq A \leq 0.21$ رفتار سیستم آشوبناک پیش‌بینی شد.

۸- نتایج حاصل از نمودارهای دوشاخه‌ای شدن برای پیش‌بینی مقادیر دامنه تحریک با رفتار آشوبناک توسط نمودار بزرگ‌ترین نمای لیپانوف مورد تأیید قرار گرفت.

on Nanotechnology, IEEE, 2014, pp. 689-692.

[5] Z. Saadatnia, E. Esmailzadeh, D. Younesian, Nonlinear Forced Vibration Analysis of Fluid Conveying Nanotubes Under Electromagnetic Actuation, in: ASME 2014 International Design Engineering Technical Conferences and Computers and Information in Engineering Conference, 2014.

[6] H. Askari, E. Esmailzadeh, Chaotic and periodic vibration of a carbon nanotube supported by nonlinear foundation, in: 14th IEEE International Conference on Nanotechnology, IEEE, 2014, pp. 632-635.

[7] H. Askari, E. Esmailzadeh, Forced vibration of fluid conveying carbon nanotubes considering thermal effect and nonlinear foundations, Composites Part B: Engineering, 113 (2017) 31-43.

[8] T. Xu, M.I. Younis, Nonlinear dynamics of carbon nanotubes under large electrostatic force, Journal of Computational and Nonlinear Dynamics, 11(2) (2016) 021009.

[9] W. Hu, Z. Deng, Chaos in embedded fluid-conveying single-walled carbon nanotube under transverse harmonic load series, Nonlinear Dynamics, 79(1) (2015) 325-333.

[10] W. Hu, M. Song, Z. Deng, H. Zou, B. Wei, Chaotic region of elastically restrained single-walled carbon nanotube, Chaos: An Interdisciplinary Journal of Nonlinear Science, 27(2) (2017) 023118.

[11] M. Sadeghi-Goughari, S. Jeon, H.-J. Kwon, Effects of magnetic-fluid flow on structural instability of a carbon nanotube conveying nanoflow under a longitudinal magnetic field, Physics Letters A, 381(35) (2017) 2898-2905.

[12] R. Liu, J. Zhao, L. Wang, Nonlinear vibrations of carbon chain resonators tuned by temperature, Materials

جایگایی بی بعد	u
جایگایی بی بعد	u_k
nm	w
تابع زمان جایگایی	W_k
مختصه در راستای محوری nm	x
علامه یونانی	
ضریب غیرخطی	α
ضریب نفوذ دمایی ۱/K	α_x
زاویه فاز	γ
دامنه تحریک بی بعد	Λ
پارامتر بسیار کوچک	ε
ضریب وابسته به پارامتر غیرموضعی	η
زاویه فاز	θ
ضریب بی بعد استهلاک	μ
ضریب پواسون	ν
چگالی kg/m ³	ρ
پارامتر تنظیم فرکانس	σ
پارامتر بی بعد زمان	τ
ضریب تابع زمان جایگایی	Ψ
مزدوج ضریب تابع زمان جایگایی	$\bar{\Psi}$
فرکانس تحریک rad/s	ω
ترم فرکانس طبیعی وابسته به انرژی پتانسیل	ω_L
ترم فرکانس طبیعی وابسته به نیروی الاستیک بستر	ω_K

منابع

- [1] Y. Kuang, X. He, C. Chen, G. Li, Analysis of nonlinear vibrations of double-walled carbon nanotubes conveying fluid, Computational Materials Science, 45(4) (2009) 875-880.
- [2] Y.-Z. Wang, F.-M. Li, Nonlinear primary resonance of nano beam with axial initial load by nonlocal continuum theory, International Journal of Non-Linear Mechanics, 61 (2014) 74-79.
- [3] S. Souayah, N. Kacem, Computational models for large amplitude nonlinear vibrations of electrostatically actuated carbon nanotube-based mass sensors, Sensors and Actuators A: Physical, 208 (2014) 10-20.
- [4] Z. Saadatnia, A. Barari, E. Esmailzadeh, Nonlinear forced vibration analysis of free-form nanotube conveying fluid, in: 14th IEEE International Conference

- [15] X. Yao, Q. Han, Buckling analysis of multiwalled carbon nanotubes under torsional load coupling with temperature change, journal of engineering Materials and Technology, 128(3) (2006) 419-427.
- [16] A.H. Nayfeh, D.T. Mook, Nonlinear oscillations, John Wiley & Sons, 2008.
- [17] F.C. Moon, Chaotic vibrations: an introduction for applied scientists and engineers, Wiley, 1987.
- Research Express, 4(10) (2017) 105026.
- [13] M. Hosseini, R. Bahaadini, M. Makkiabadi, Application of the Green function method to flow-thermoelastic forced vibration analysis of viscoelastic carbon nanotubes, Microfluidics and Nanofluidics, 22(1) (2018) 6.
- [14] L. Wang, Q. Ni, M. Li, Q. Qian, The thermal effect on vibration and instability of carbon nanotubes conveying fluid, Physica E: Low-dimensional Systems and Nanostructures, 40(10) (2008) 3179-3182.